

ПРОЦЕССЫ РЕКОМБИНАЦИИ В  $n\text{-Hg}_{0.7}\text{Cd}_{0.3}\text{Te}$ 

Ф.Н.КАЗИЕВ, Ш.М.КУЛИЕВ, А.К.МАМЕДОВ, Г.С.СЕЙДЛИ

Институт Физики АН Азербайджана  
Баку-143, пр.Г.Джавида, 33

В работе исследовались электрические свойства, спектры и кинетика фототока в монокристаллах  $n\text{-Hg}_{0.7}\text{Cd}_{0.3}\text{Te}$ , отожженных в парах ртути, с высокими значениями времени жизни носителей заряда (для данного состава). Показано, что в области примесной проводимости ( $80\text{--}180\text{ K}$ ) время жизни определяется совместным действием двух процессов - межзонной излучательной рекомбинации и рекомбинации через локальные уровни в запрещенной зоне. Относительная эффективность каждого из механизмов рекомбинации зависит от температуры. Определены основные параметры рекомбинационных центров.

Исследование рекомбинации носителей заряда в монокристаллах  $n\text{-Hg}_{0.7}\text{Cd}_{0.3}\text{Te}$  с  $x=0.3$  п-типа посвящено довольно много работ [1-7]. Было установлено, что в чистых некомпенсированных кристаллах межзонная излучательная рекомбинация является основным механизмом как в области собственной ( $200\text{--}300\text{ K}$ ) проводимости, так и в примесной области, т.е. при более низких температурах [1-3]. В кристаллах же с высокой степенью компенсации и более низкой подвижностью температурная зависимость времени жизни носителей заряда в области примесной проводимости определяется рекомбинацией через локальные уровни в запрещенной зоне [4,5]. Вместе с тем, в определении глубины залегания рекомбинационных уровней наблюдается значительный разброс - от  $10\text{--}30\text{ мэВ}$  от дна зоны проводимости [6,7], до  $18\text{--}100\text{ мэВ}$  от потолка валентной зоны [1,4,5], что обусловлено как различиями в технологии получения кристаллов, так и неконтролируемыми примесями в полупроводниковом материале.

Исследовались специально нелегированные монокристаллы  $n\text{-Hg}_{0.7}\text{Cd}_{0.3}\text{Te}$  с  $x=0.3$  п-типа проводимости, полученные методом направленной кристаллизации с последующим длительным отжигом в насыщенных парах ртути. После механических и химических обработок образцы имели размеры  $\sim 3\text{x}1\text{x}0.15\text{ mm}^3$ . Измерения времени жизни в интервале температур  $80\text{--}300\text{ K}$  производились из релаксационных кривых фототока. Кинетика фототока исследовалась при низком уровне оптического возбуждения. В качестве источника излучения и модулятора использовался ОКГ ЛГ-126 ( $\lambda=3.39\text{ мкм}$ ) и электрооптический модулятор МЛ-3, соответственно. Питание модулятора осуществлялось от генератора Г5-54. Установка позволяла облучать образцы прямоугольными световыми импульсами с временем фронта  $\sim 1\text{--}10^{-4}\text{ с}$ . Релаксация фототока происходила по экспоненциальному закону.

На рис.1 представлены спектры фото-проводимости образца при температурах  $80\text{ K}$  (кривая 1) и  $300\text{ K}$  (кривая 2). При  $T=80\text{ K}$  максимум зависимости  $U_i(\lambda)$  расположен при  $\lambda \approx 4.3\text{ мкм}$ . Кроме основного максимума наблюдается примесный пик при  $\lambda \approx 6.2\text{ мкм}$ . При  $T=300\text{ K}$  основной максимум расположен в районе  $3.5\text{ мкм}$ .

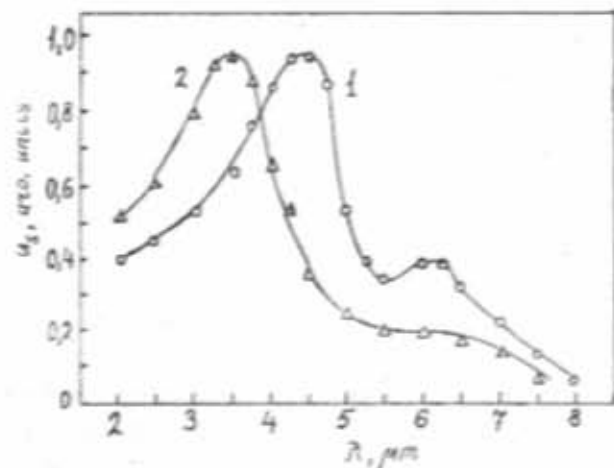


Рис.1. Спектральные характеристики фотосигнала образца  $n\text{-Hg}_{0.7}\text{Cd}_{0.3}\text{Te}$  при  $T=80\text{ K}$  (кривая 1) и  $T=300\text{ K}$  (кривая 2).

На рис.2 приведена температурная зависимость коэффициента Холла  $R_H$  (кривая 1). В области температур  $80\text{--}180\text{ K}$  коэффициент Холла почти не зависит от температуры, т.е. примесные центры находятся в полностью ионизованном состоянии. В области собственной проводимости ( $T > 200\text{ K}$ ) зависимость  $R_H(T)$  определяет ширину запрещенной зоны для данного состава  $E_g \approx 0.27\text{ эВ}$ . Концентрация некомпенсированных доноров  $N_D-N_A$ , найденная из измерений коэффициента Холла при  $T=80\text{ K}$  составила  $N_D-N_A \approx 1.4 \cdot 10^{14}\text{ см}^{-3}$ . Темпе-

ратурная зависимость подвижности электронов  $\mu_e(T)$  представлена кривой 2 на рис.2.

В области температур 80÷300 К зависимость  $\mu_e(T)$  следует закону  $\mu_e \sim T^{-1}$ . Величина подвижности ( $\mu_e \approx 8 \cdot 10^4$  см<sup>2</sup>/Вс при 80 К) и указанная температурная зависимость позволяют предположить, что доминирующим механизмом рассеяния электронов в изученном интервале температур является полярное оптическое рассеяние с небольшим вкладом от рассеяния на ионизованных примесных центрах [8].

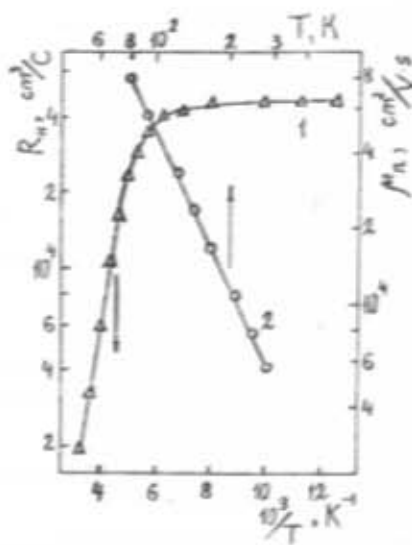


Рис.2. Температурная зависимость коэффициента Холла (кривая 1) и подвижности электронов (кривая 2).

На рис.3 приведена экспериментально полученная температурная зависимость времени жизни носителей заряда (кривая 3). Как видно из рис.3, с понижением температуры от комнатной время жизни экспоненциально увеличивается, достигая максимального значения в области перехода от примесной к собственной проводимости. Причем, наклон на этом участке зависимости  $\tau_{exp}(T)$  соответствует приблизительно половине ширины запрещенной зоны. В области примесной проводимости (80÷180 К)  $\tau_{exp}$  уменьшается с понижением температуры. На этом же рисунке представлены расчетные зависимости  $\tau(T)$  для различных механизмов рекомбинации. При этом времена жизни, ограниченные межзонной излучательной рекомбинацией  $\tau_R$  (кривая 1), и межзонной ударной Оже-рекомбинацией с участием двух электронов и тяжелой дырки  $\tau_A$  (кривая 2), рассчитывались на основе результатов работ [9,10]. Как видно из рис.3, в области температур 200÷300 К расчетная зависимость  $\tau_R(T)$  хорошо согласуется с экспериментальной

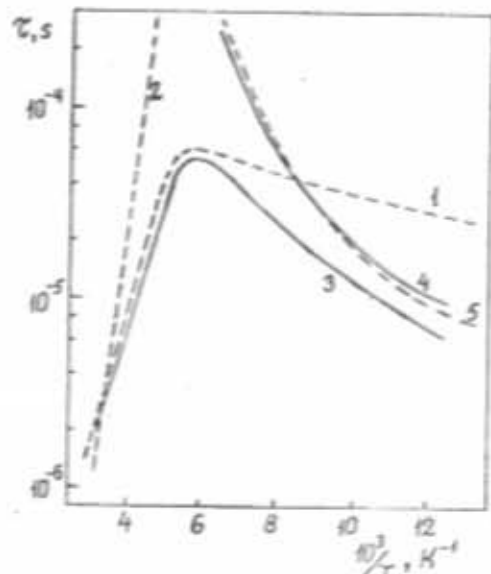


Рис.3. Температурная зависимость времени жизни в n-Hg<sub>0.7</sub>Cd<sub>0.3</sub>Te. Расчетные зависимости: 1 -  $\tau_R$ , 2 -  $\tau_A$ , 3 - экспериментальная кривая, 4 -  $\tau_1 = (\tau_{exp}^{-1} - \tau_R^{-1})^{-1}$ , 5 - расчет по теории Шокли-Рида.

кривой  $\tau_{exp}(T)$ . Это указывает на то, что из межзонных механизмов доминирующим процессом в области 200÷300 К является межзональная излучательная рекомбинация. В районе  $T=300$  К значения  $\tau_A$  и  $\tau_R$  оказываются близкими. При  $T>300$  К вклад межзональной ударной рекомбинации резко возрастает. В области же примесной проводимости (80÷200 К) расчетные значения  $\tau_A$  оказались в 20÷50 раз выше экспериментальных значений времени жизни. Таким образом, при низких температурах межзональные Оже процессы в исследуемых кристаллах n-Hg<sub>0.7</sub>Cd<sub>0.3</sub>Te не существенны. Расчетные значения  $\tau_A$  близки к  $\tau_{exp}$  в районе температур 170÷190 К (рис.3), однако, с понижением температуры до 80 К  $\tau_R$  уменьшается примерно в 2 раза, тогда как  $\tau_{exp}$  падает в 7÷8 раз в том же диапазоне температур. Такое поведение  $\tau_{exp}(T)$  указывает на то, что при низких температурах рекомбинация носителей заряда происходит с участием примесных уровней в запрещенной зоне.

Расчеты показывают, что при температуре перехода от примесной к собственной проводимости ( $T \approx 180$  К) уровень Ферми расположен в верхней половине запрещенной зоны ( $E_F \approx 0.27$  эВ,  $E_F \approx 0.07$  эВ). При  $T=80$  К уровень Ферми располагается на 0,04 эВ ниже дна зоны проводимости. С другой стороны, наклон зависимости  $\tau_{exp}(T)$  на рис.3 в области температур 120÷160 К составляет около 0,025 эВ. Из анализа данных по Холловским измерениям и времени жизни следует, что реком-

бинационные уровни располагаются в нижней половине запрещенной зоны.

В предположении одного типа рекомбинационных уровней ( $t_1$ ) с концентрацией  $N_{t_1}$ , расположенных на расстоянии  $E_{vt}$  от валентной зоны и при низком уровне оптического возбуждения, выражения для времени жизни электронов  $\tau_e$  и дырок  $\tau_p$  в теории Шокли-Рида имеет вид [11]

$$\tau_e = \frac{\tau_{p0}(n_0 + n_1) + \tau_{p0} \left[ p_0 + p_1 + N_r \left( 1 + \frac{p_0}{p_1} \right)^{-1} \right]}{n_0 + p_0 + N_r \left( 1 + \frac{p_0}{p_1} \right)^{-1} \cdot \left( 1 + \frac{p_1}{p_0} \right)^{-1}} \quad (1)$$

$$\tau_p = \frac{\tau_{e0}(p_0 + p_1) + \tau_{e0} \left[ n_0 + n_1 + N_r \left( 1 + \frac{n_0}{n_1} \right)^{-1} \right]}{n_0 + p_0 + N_r \left( 1 + \frac{n_0}{n_1} \right)^{-1} \cdot \left( 1 + \frac{n_1}{n_0} \right)^{-1}} \quad (2)$$

где  $\tau_{e0} = (\gamma_e N_e)^{-1}$ ,  $\tau_{p0} = (\gamma_p N_r)^{-1}$ ,

$$n_i = N_i \exp \left( -\frac{E_i - E_{vt}}{kT} \right), \quad p_i = N_i \exp \left( -\frac{E_{vt}}{kT} \right); \quad \gamma_i$$

и  $\gamma_i$  - коэффициенты захвата электронов и дырок на  $t$ -центры рекомбинации,  $N_e$  и  $N_r$  - эффективные плотности состояний в зоне проводимости и валентной зоне, соответственно.

В рассматриваемом случае материала  $n$ -типа и рекомбинационных уровнях, расположенных в нижней половине запрещенной зоны, имеем  $n_e >> p_1$ ,  $p_1 >> p_0$  и  $n_e >> p_0$ . С другой стороны, для центров Шокли-Рида акцепторного типа имеет место неравенство  $\tau_{e0} >> \tau_{p0}$  [12]. Тогда (1) и (2) для температурной области примесной проводимости записутся в виде

$$\tau_e \approx \tau_{e0} \frac{P_1 + N_r}{n_0 p} \approx \frac{\tau_{e0}}{n_0} \left[ N_r \exp \left( -\frac{E_{vt}}{kT} \right) + N_r \right] \quad (3)$$

$$\tau_p \approx \tau_{e0} \frac{P_1}{n_0} \approx \frac{N_r}{n_0} \exp \left( -\frac{E_{vt}}{kT} \right) \quad (4)$$

Для области повышенных температур ( $p_1 >> N_r$ ) из соотношений (3) и (4) получаем

$$\tau_e \approx \tau_p \approx \frac{\tau_{e0}}{n_0} N_r \exp \left( -\frac{E_{vt}}{kT} \right) \quad (5)$$

Для выяснения относительной эффективности различных механизмов рекомбинации в области примесной проводимости и определения параметров рекомбинационных центров была рассчитана и построена температурная зависимость вспомогательной величины - "остаточного" времени жизни, определяемого как  $\tau_1^{-1} = \tau_{e0}^{-1} - \tau_p^{-1}$  (рис.3, кривая 4).

Зависимость  $\tau_1(T)$  в области температур 100-160 К, как видно из рис.3, получается более резкой по сравнению с  $\tau_{e0}(T)$ . В районе  $T=115$  К зависимости  $\tau_1(T)$  и  $\tau_p(T)$  пересекаются.

Для области повышенных температур ( $p_1 >> N_r$ ), согласно (5) имеем  $\tau_{e0} \approx \tau_p$  и, следовательно,  $\Delta \tau \approx \Delta \tau_p$ . Эффективность времени жизни определяется при этом выражением:

$$\tau_{eff}^{-1} = \tau_p^{-1} + \tau_{SR}^{-1} \quad (6)$$

где  $\tau_{SR}$  - время жизни для рекомбинации Шокли-Рида.

Температурная зависимость  $\tau_1(T)$  была проанализирована на основе модели Шокли-Рида, полагая  $\tau_1^{-1} = \tau_{e0}^{-1} - \tau_p^{-1} = \tau_{SR}^{-1}$ , в соответствии с выражением (6).

Измерения  $\tau_1$  при двух различных температурах позволили определить, используя формулы (3) и (5), параметры  $E_{vt}$ ,  $\tau_{e0}$  и  $N_r$ . По наклону зависимости  $\tau_1(T)$  в области повышенных температур ( $p_1 >> N_r$ ) найдена глубина залегания  $t$ -уровня рекомбинации от края валентной зоны  $E_{vt} = 0,08$  эВ. По формуле (5) найдено значение параметра  $\tau_{e0} \approx 6 \cdot 10^{-6}$  с. Концентрация центров рекомбинации  $N_r$  определялась из формулы (3) при значении параметра  $\tau_1$  для температуры  $T \approx 115$  К, соответствующей пересечению зависимостей  $\tau_p(T)$  и  $\tau_1(T)$ . Найденное значение составило  $N_r \approx 1,5 \cdot 10^{14}$  см<sup>-3</sup>. Расчетная температурная зависимость времени жизни по теории Шокли-Рида  $\tau_{SR}(T)$  при вышеуказанных значениях параметров удовлетворительно согласуется с зависимостью  $\tau_1(T)$ , как видно из рис.3 (кривые 4 и 5).

Полученное значение  $E_{vt}$  удовлетворительно коррелирует с энергетическим интервалом между собственным и примесным максимумами в спектре фотопроводимости изучаемых кристаллов (около 0,09 эВ, рис.1).

Используя значения параметров  $\tau_{e0}$  и  $N_r$  было определено сечение захвата электрона на  $t$ -центр рекомбинации из соотношения  $\tau_{e0}^{-1} = \gamma_e N_e = \langle v_T \rangle S_{av} N_r$ , где  $\langle v_T \rangle$  - тепловая скорость носителя заряда. Найденное значение  $S_{av} \approx 2 \cdot 10^{-16}$  см<sup>2</sup> характерно для захвата электрона на нейтральный (после захвата дырки) центр, т.е.  $t$ -центр, вероятно, однозарядный акцептор.

Выявленные рекомбинационные центры могут быть связаны с собственными дефектами решетки - вакансиями ртути (второе зарядовое состояние ртутной вакансии), либо с атомами остаточной примеси. Однако в монокристаллах  $Hg_{0.7}Cd_{0.3}Te$   $n$ -типа, отожженных в парах ртути, концентрация

вакансий в металлической подрешетке мала. Вероятно, г-центры рекомбинации связаны с фоновой примесью, замещающей вакансию ртути.

Таким образом, в исследованных кристаллах n-Hg<sub>0.7</sub>Cd<sub>0.3</sub>Te температурная зависимость времени жизни в области 80–180 K определяется совместным действием двух механизмов рекомбинации. В области 80–110 K, выше относительная эффективность рекомбинации Шокли-Рида через уровень акцепторного типа, расположенный на 0,08 эВ от валентной зоны. Однако, из-за большого значения

эффективной плотности состояний в валентной зоне (эффективная масса дырки m<sub>e</sub>≈0,6 m<sub>0</sub>, а электрона m<sub>h</sub>≈0,02 m<sub>0</sub>) рекомбинационное время Шокли-Рида (3) уже в районе T≈115 K сравнивается с межзонным излучательным временем рекомбинации τ<sub>R</sub>, а при T>120 K заметно превышает его (рис.3, кривые 1 и 5). В результате, начиная уже с T≈120 K основной вклад вносит межзональная излучательная рекомбинация, которая остается доминирующим процессом вплоть до T≈300 K.

## ЛИТЕРАТУРА

1. Н.Л.Баженов, Б.Л.Гельмонт, В.И.Иванов-Омский, А.А.Малькова, В.К.Огородников, Т.Ц.Тотиева, ФТП, 1982, т.16, в.1, с.109–112.
2. J.Allegre , J.Calas, C.Fau, Infrared Phys., 1982, v.22, p. 65-75.
3. J.Schilz, G.Nimtz, C.Geibel, J.Ziegler, J.Crystal Growth, 1988, v.86, p.677-681.
4. М.Г.Андрюхин, М.Г., В.И.Иванов-Омский, В.А.Мальцева, В.К.Огородников, Т.Ц.Тотиева, ФТП, 1979, т.13, в.2, с.362–364.
5. Л.А.Бовина, Д.В.Соболев, В.И.Ставес. Тезисы докл. II Респ. конфер. по фотозелектрическим явл. в полупроводниках. Одесса, 1982, с.56.
6. R.Pratt, J.Hewet, P.Capper, C.Jones, M.Quelch, J.Appl. Phys., 1983, v.54, N 9 , p.5152-5157.
7. P.Capper, J.Crystal Growth, 1982, n.57, N 2, p.280-299.
8. M.Kinch, M.Brau, A.Simmons, J.Appl.Phys., 1973, v.44, N 4, p.1649-1663.
9. J.Baker, F.Capocci, D.Charlton, J.Wotherspoon, Sol.St.Electron, 1978, v.21, p.1475-1480.
10. P.Petersen, "Semicond. and Semimetals", 1981, v.18, chap. 4, p.121.
11. В.Л.Бонч-Бруевич, С.Г.Калашников, "Физика полупроводников", М.: 1977, гл.IX, с.312.
12. M.Pines, O.StafSudd, Infrared Phys., 1980, v.20, N 2, p.73.

F.N.QAZİYEV, Ş.M.QULİYEV, A.K.MƏMMƏDOV, Q.S.SEIDLİ

## n-Hg<sub>0.7</sub>Cd<sub>0.3</sub>Te KRİSTALLARINDA REKOMBİNASIYA PROSESLƏRİ

Məqalə, n-Hg<sub>0.7</sub>Cd<sub>0.3</sub>Te monokristallarının elektrik və fotoelektrik xassələrinin tədqiqinə həsr olunmuşdur. Göstərilmişdir ki, aşqar keçicilik oblastında yüksəkşiyiciların yaşama müddəti iki prosesin birgə tə'sirinin nəticəsidir.

F.N.KAZIEV, Sh.M.KULIEV, A.K.MAMEDOV AND G.S.SEIDLİ

## RECOMBINATION PROCESSES IN n-Hg<sub>0.7</sub>Cd<sub>0.3</sub>Te SINGLE CRYSTALS

Electrical properties, spectra, and the kinetics of photocurrent in monocrystals of Hg<sub>0.7</sub>Cd<sub>0.3</sub>Te with high lifetime of charge carriers were studied. It was shown that in the range of impurity conductivity (80–180 K) lifetime is defined by simultaneous effect of two processes, inter-band radiative recombination via local levels in the gap.